

---

---

◎論文터빈 로터강의 피로크랙 전파속도의 확률특성 연구(I)<sup>†</sup>오세우<sup>\*</sup>·이치우<sup>\*\*</sup>·장윤석<sup>\*\*\*</sup>·정준호<sup>\*\*\*</sup>

## A Study on the Statistical Characteristics of Fatigue Crack Propagation Rate in Turbine Rotor Steel(I)

Sae-Wook Oh, Chi-Woo Lee, Yun-Souk Chang and Soon-Ho Chung

**Key Words :** Turbine Rotor Steel(터빈로터용 강), Fatigue Crack Growth Rate(피로크랙 전파속도), Statistical Characteristics(확률특성)

**Abstract**

In order to estimate the running life of turbine rotors, fatigue crack propagation law,  $da/dN = C(\Delta K)^m$ , proposed by Paris et al. has been widely applied.

In this study, fatigue crack propagation rates for 16 samples of 1% Cr-Mo-V rotor steel were measured and statistical characteristics of  $m$  and  $C$  values in above equation were reviewed.

The results are summarized as follows.

1.  $C$  and  $m$  follow a log-normal distribution and normal distribution, respectively. And the relation of  $C$  and  $m$  shows a strong negative correlation.
2. Fatigue crack propagation equation can be expressed as  $da/dN = 4.11 \times 10^{-4} (\Delta K/153.8)^m$ , introducing the relationship  $C = C_0 K_0^{-m}$ .

In this case, contribution of  $C_0$  distribution to the distribution of  $\log C$  shows very small compared to degrees of contribution by  $m$ .

**1. 서 론**

산업기술의 발달과 함께 자동차, 항공기, 발전용 터빈 등과 같이 반복하중과 진동을 받는 기계들이 생활됨으로 피로현상에 대한 많은 연구가 진행되어 왔다. 특히, 발전설비의 터빈로터와 같이 가동파 중지에 따른 반복하중을 받는 재료의 품질은 사용 목

적상 몇 가지의 요건 즉, 요구되는 기계적 성질, 피로크랙 성장에 대한 우수한 저항성, 크리프 특성 등, 종합적인 성질을 만족 시켜야 한다. 또, 크랙을 포함하는 구조물이 반복하중을 받게 될 때 이에 대한 수명을 예측하기 위해서는 피로크랙 전파거동(fatigue crack propagation behavior)을 정량적으로 나타낼 필요가 있다. 지금까지 피로크랙 성장을 기술하기

<sup>†</sup> 1987년도 한국해양공학회 춘계학술대회 발표(1987년 6월)

\* 정회원, 동아대학교 기계공학과

\*\* 정회원, 경남대학교 기계설계학과

\*\*\* 정회원, 한국중공업기술연구소

위해 많은 법칙들이 제안되었다. Head<sup>1)</sup>가 처음으로 크랙전파법칙을 제안하였고, Irwin<sup>2)</sup>의 응력확대계수의 개념이 도입되고 부터 피로크랙이론에 커다란 변화를 가져왔었고, Paris<sup>3)</sup>이 이러한 법칙들을 종합하여 피로크랙 전파속도 관계식을 확립하였다. 이식은 현재 재료의 크랙전파거동을 기술하는데 기본으로 사용되고 있다. 특히 피로에 대한 크랙을 갖는 구조물의 신뢰성을 확립하려면 피로크랙전파속도의 확률특성을 정량적으로 나타내므로써 손상허용선체 및 수명예측 등을 정립할 수 있으므로 최근에는 관심이 고조되고 있다<sup>4~8)</sup>.

피로크랙전파속도는 일반적으로 다음과 같이 나타낼 수 있다.

$$\frac{da}{dN} = C(\Delta K)^m \quad (1)$$

여기서,  $a$ 는 크랙의 길이,  $N$ 은 반복 회전수,  $C$ 는 크랙전파계수,  $m$ 은 크랙전파계수,  $\Delta K$ 는 응력확대계수법이며  $C$ 와  $m$ 은 실험에 의해 구하여지는 재료상수이다. 이 경우 일반적으로  $C$ 와  $m$ 을 확정치로 취급하는 경우가 많으나 신뢰성까지 포함시켜 수명추정을 행하려면  $C$ 와  $m$ 의 확률특성을 검토할 필요가 있다.

$C$ 와  $m$ 의 확률특성에 대하여 일반적으로 다음과 같은 가능성은 검토할 필요가 있다.

- 1)  $C$ 와  $m$ 은 확정치이다.
- 2)  $C$ 는 확률변수이지만  $m$ 은 확정치이다.
- 3)  $m$ 은 확률변수이지만  $C$ 는 확정치이다.
- 4)  $C$ 와  $m$ 은 확률변수이지만 서로 상관관계는 아니다.
- 5)  $C$ 와  $m$ 은 확률변수이고 동시에 서로 상관관계이다.

이 중에서 어느 것이 타당한가를 검토하기 위해서는 알맞는 실험 데이터가 필요하다. 그러나 현재까지는 이러한 문제에 대한 실험 데이터는 거의 없는 실정

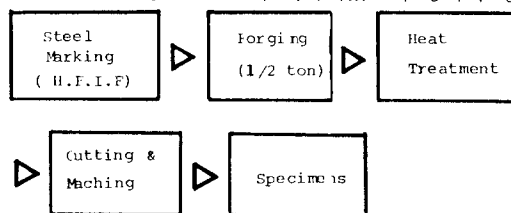
이다. Tanaka<sup>9)</sup>은 저탄소강의 실험에서  $C$ 와  $m$ 의 확률특성을 조사하여  $m$ 과  $\log C$ 는 대부분 정규분포에 따르며 동시에 양자 사이에는 강한 음의 상관관계에 있다는 것을 확인 하였으며 Sakai<sup>10)</sup>은 2024-T3AI 합금의 실험에서도 같은 경향을 확인하였다. 또, Ichikawa<sup>11)</sup>은 2024-T3AI 합금에 대하여  $m$ 은 대부분 정규분포에,  $C$ 는 거의 대수정규분포에 따르고  $m$ 과  $\log C$ 의 사이에는 강한 음의 상관관계가 있으며  $C = C_0 K_0^{-m}$ 의 관계가 성립한다는 것을 확인하였다. Kitagawa<sup>12)</sup>은  $2\frac{1}{4}$ Cr-1Mo 강에 대하여 Monte Carlo 시뮬레이션(simulation)을 행하여 연어진  $S-N$ 곡선에서의 수명예측과  $C$ 와  $m$ 의 관계도 같은 경향이 나타남을 확인하였다.

본 연구에서는 터빈로터용 강에 대한 피로크랙전파속도실험을 통하여  $C$ 와  $m$ 의 확률특성을 검토하고자 한다.

## 2. 실험방법

### 2.1 시험편제작 및 방법

본 연구에 사용된 시험편은 발전 터빈로터용강으로 널리 사용되고 있는 Cr-Mo-V강으로 Table 1은 시험편의 화학성분과 기계적 특성을 표시한다. 용해는 고주파유도로를 사용하여 150N의 강판을 주조하였다. 시편의 제조공정은 Fig. 1에 나타내었으며 강판의 형



H.F.I.F ; High Frequency Induction Furnace

Fig. 1 Schematic diagram of manufacturing process

Table 1 Chemical composition and mechanical properties of rotor steel

Chemical composition (wt %)											
C	Si	Mn	P	S	Ni	Cr	Mo	V	Cu	As	
0.31	0.05	0.61	0.006	0.002	0.58	1.28	1.06	0.29	0.06	0.011	
Mechanical properties											
Tensile stress (MPa)	Yield stress (MPa)		Elongation (%)			F. A. T. T (°C)		Impact energy (N·m at 23°C)			
722.3	571.3		19.3			8		129.36			

상과 시험편 채취부 및 방향은 Fig. 2와 같다. 단조작업은 에어 해머(0.5ton)를 사용하여 단조비 4.3으로 단조하였다. 단조후 생산라인의 로터와 같은 열처리 효과를 주기 위하여 Fig. 3과 같은 방법으로 열처리한 후 Fig. 4와 같이 인장, 충격, 피로시험편으로 가공하였다.

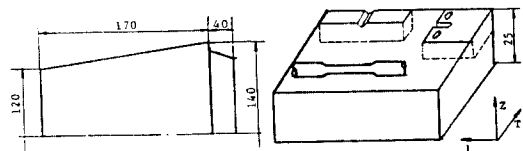


Fig. 2 Ingot profile and sampling method

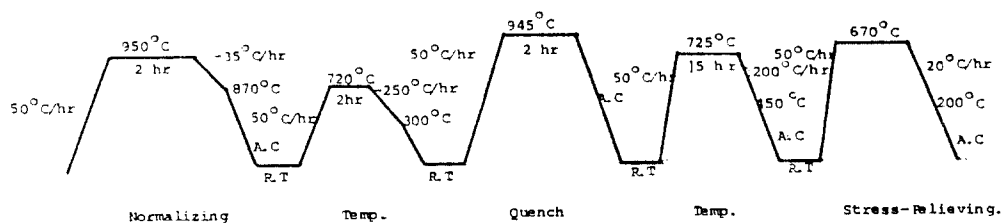
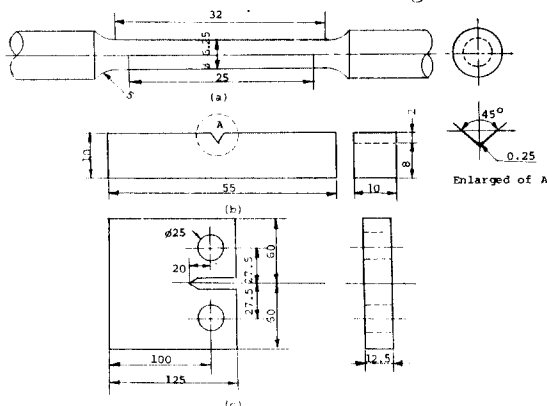
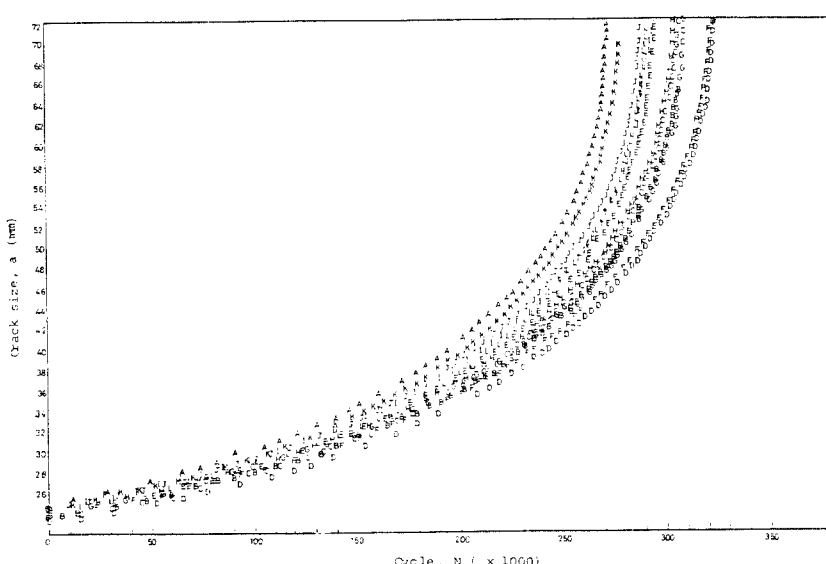


Fig. 3 Heat treatment cycle

Fig. 4 Dimension of specimens for: (a) tension, (b) impact, and (c)  $da/dN$  tests

## 2.2 피로크랙전파시험

본 실험에서는 축정배율 50에서 0.02mm까지 축정 가능한 이동식광학현미경을 사용하여 크랙길이를 축정하였다. 크랙전파속도의 본 실험에 앞서 시험편에 예비크랙을 발생시켜야 하는데 예비크랙의 발생을 용이하게 하기 위하여 실제 시험할 하중보다 높게 반복하중을 가하여 크랙을 발생시킨 다음 절차 감소하여 예비크랙을 발생시켰다. 실험은 용량이 100ton인 서보유압시험기(Instron 1336)를 사용하여 상온에서 주파수가 5Hz로 일정한 하중재어로 행하여졌다. 하중파형은 최대값과 최소값이 모두 인장축에 있는 일정 진폭 sine 하중을 사용하여 응력비  $R$ 을

Fig. 5 Relation  $a$  and  $N$ (A-L: Identification of specimens)

0.1, 작용하중범위  $\Delta P = 16660N$ 으로 일정한 실험을 하였다. 피로크랙전파속도  $\frac{da}{dN}$ 는 실험에서 구한 Fig. 5의  $a-N$ 곡선에서  $\Delta N$ 사이에 증가한  $\Delta a$ 를 구하여  $\frac{\Delta a}{\Delta N}$ 로 하였다.  $\Delta K$ 는  $\Delta N$ 사이의 크랙길이  $a$ 와 작용하중범위  $\Delta P$ 를 ASTM E647에 의한 식에 대입하여 구하였다.

$$\Delta K = \frac{\Delta P}{B \sqrt{W}} \frac{2+\alpha}{(1-\alpha)^3} (0.886 + 4.64\alpha - 13.2\alpha^2 + 14.72\alpha^3 - 5.6\alpha^4) \quad (2)$$

여기서,  $\alpha = \frac{a}{W}$ ,  $\frac{a}{W} \geq 0.20$ 이며  $a$ 는 크랙의 길이,  $B$ 는 시험편의 두께,  $W$ 는 시험편의 폭이다.

### 3. 실험결과

#### 3.1 $\frac{da}{dN}-\Delta K$ 와의 관계

피로크랙 전파실험에 의한 피로크랙전파속도와 응력확대계수 범위와의 관계를 Fig. 6~Fig. 20에 나타낸 것이다. Table 2는  $\frac{da}{dN}$ 와  $\Delta K$ 를 최소자승법을 사용하여 크랙전파계수  $C$ 와 크랙전파지수  $m$ 을 나타내었으며 여기서  $C$  또는  $m$ 만으로는 재료의 특성을 해

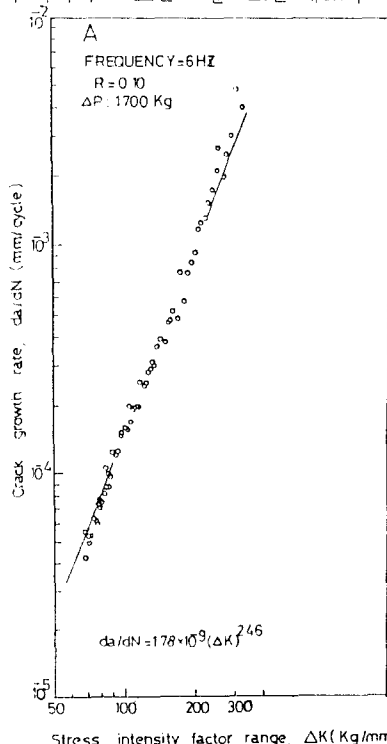


Fig. 6 Relation between  $da/dN$  and  $\Delta K$

Table 2 Coefficient,  $C$  and exponent,  $m$

Specimens	$C$ ( $\times 10^{-9}$ )	$m$
A	1.78	2.46
B	2.32	2.41
C	1.92	2.45
D	2.10	2.45
E	1.10	2.56
F	1.59	2.46
G	0.63	2.67
H	1.76	2.45
I	1.14	2.54
J	1.69	2.46
K	1.94	2.45
L	2.18	2.42
M	1.26	2.55
N	1.02	2.56
O	1.34	2.51
P	1.64	2.47

석한 수 없으므로  $C$  및  $m$ 의 데이터를 확률지에 타검하였다.  $m$ 을 정규확률지에 타검한 결과를 Fig. 21에  $C$ 를 대수정규화률지에 타검한 결과를 Fig. 22에 나타내었다. 거의 일직선상으로 나타낼 수 있으므로 즉,  $m$ 은 정규분포에,  $C$ 는 대수정규분포에 거의 따른다는

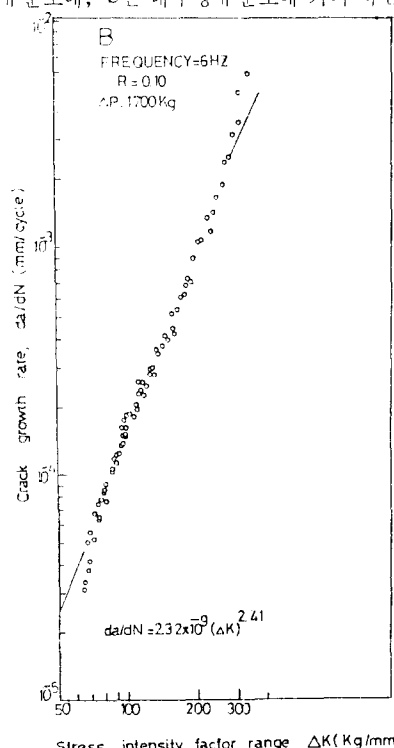
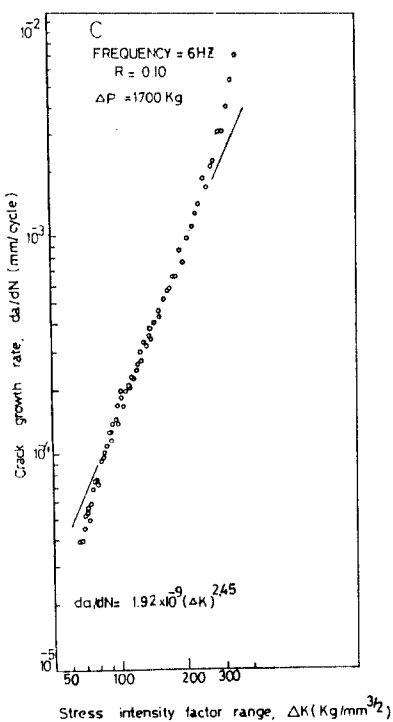
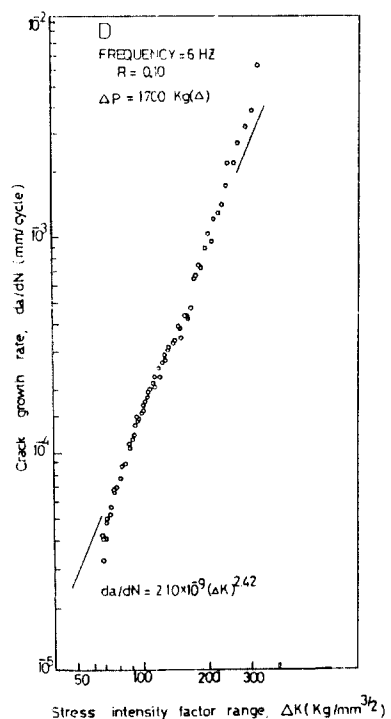
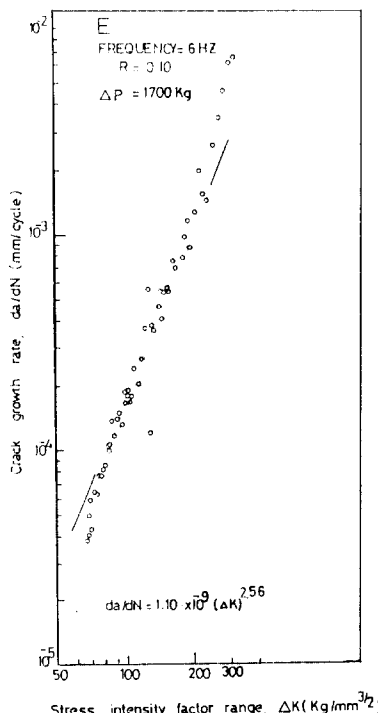
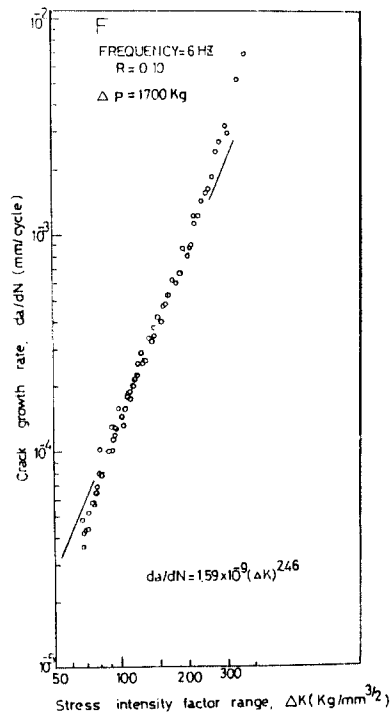
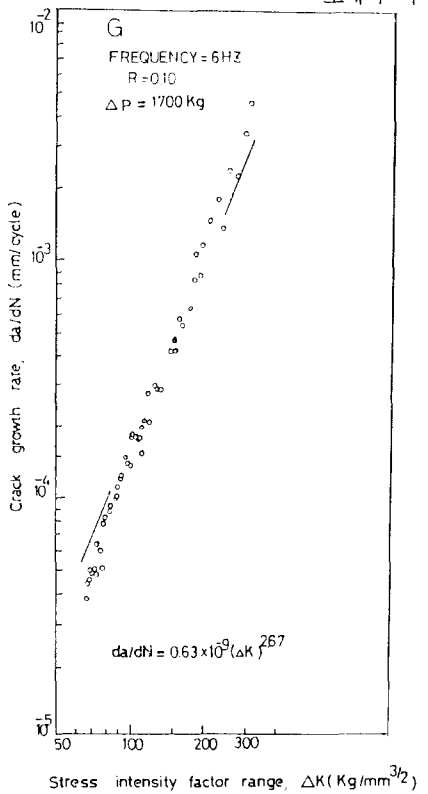
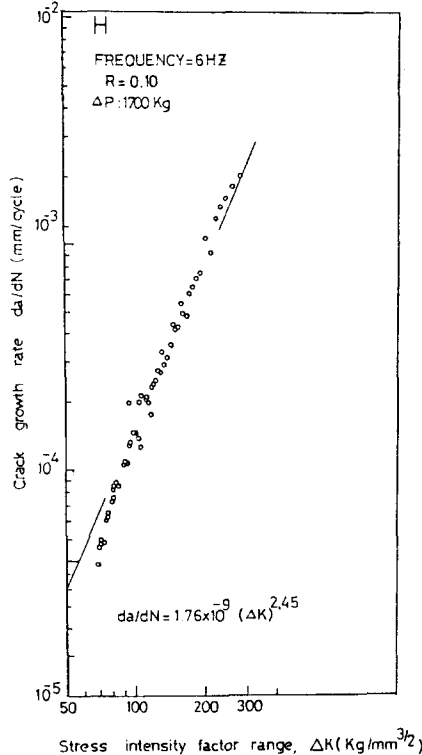
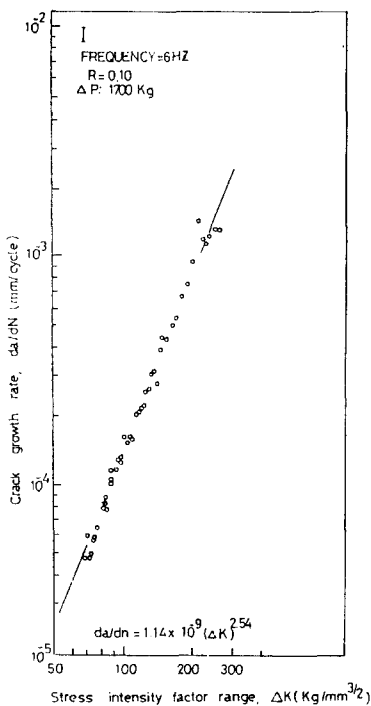
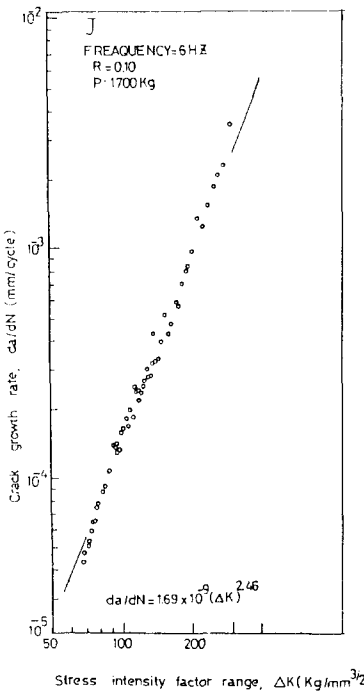


Fig. 7 Relation between  $da/dN$  and  $\Delta K$

Fig. 8 Relation between  $da/dN$  and  $\Delta K$ Fig. 9 Relation between  $da/dN$  and  $\Delta K$ Fig. 10 Relation between  $da/dN$  and  $\Delta K$ Fig. 11 Relation between  $da/dN$  and  $\Delta K$

Fig. 12 Relation between  $da/dN$  and  $\Delta K$ Fig. 13 Relation between  $da/dN$  and  $\Delta K$ Fig. 14 Relation between  $da/dN$  and  $\Delta K$ Fig. 15 Relation between  $da/dN$  and  $\Delta K$

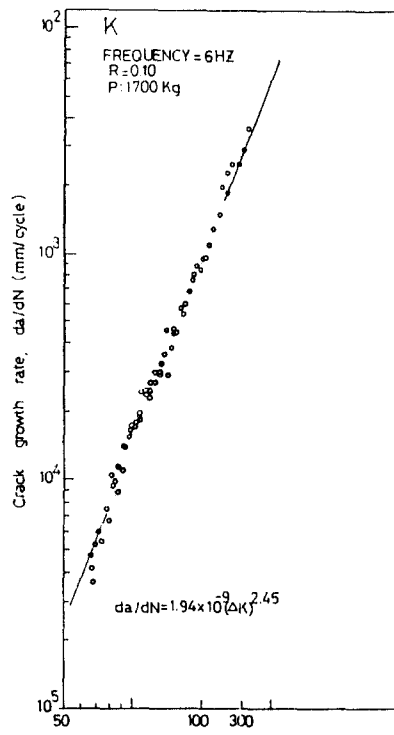


Fig. 16 Relation between  $da/dN$  and  $\Delta K$

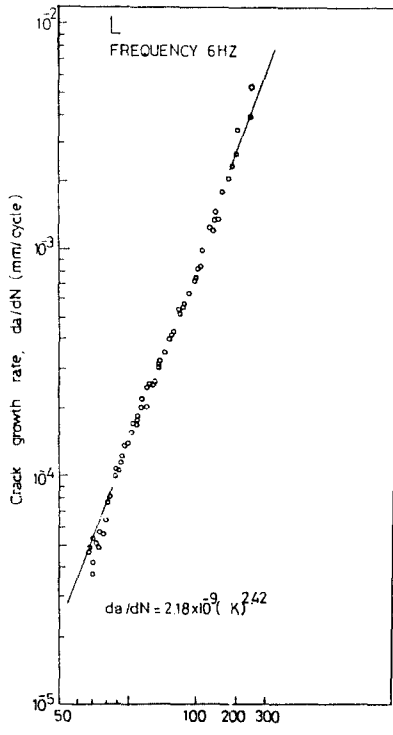


Fig. 17 Relation between  $da/dN$  and  $\Delta K$

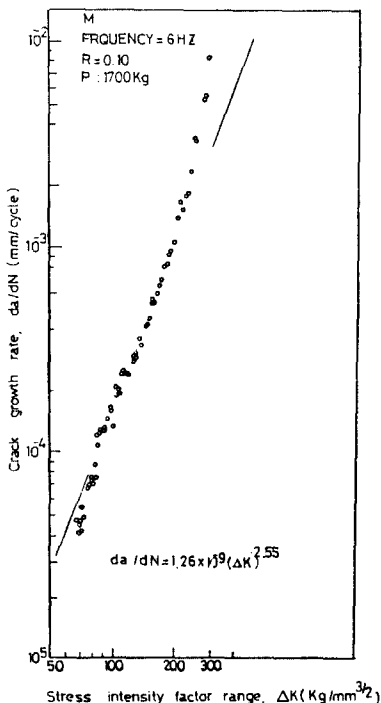


Fig. 18 Relation between  $da/dN$  and  $\Delta K$

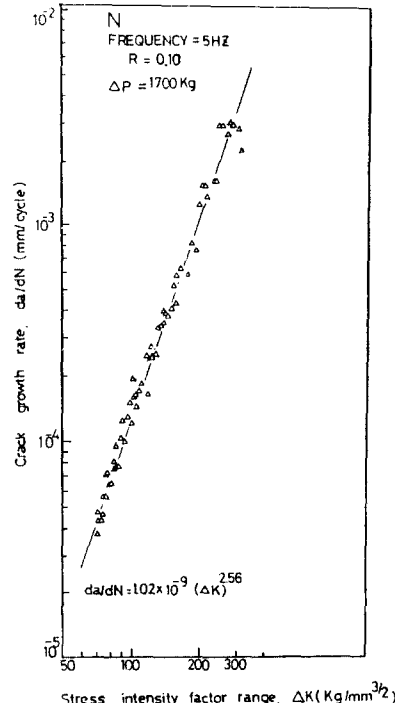
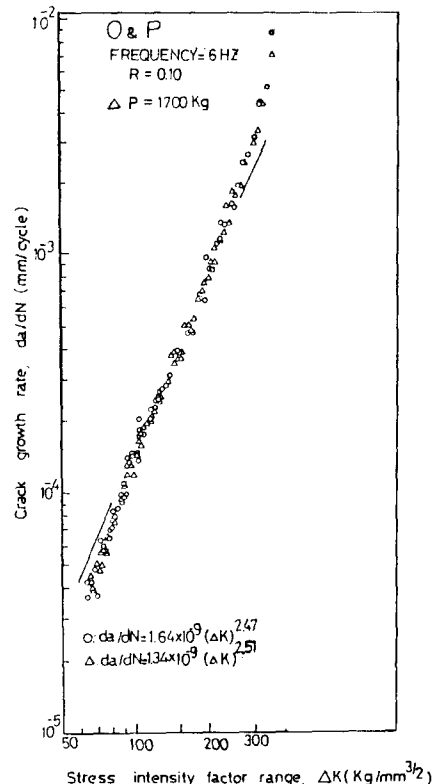
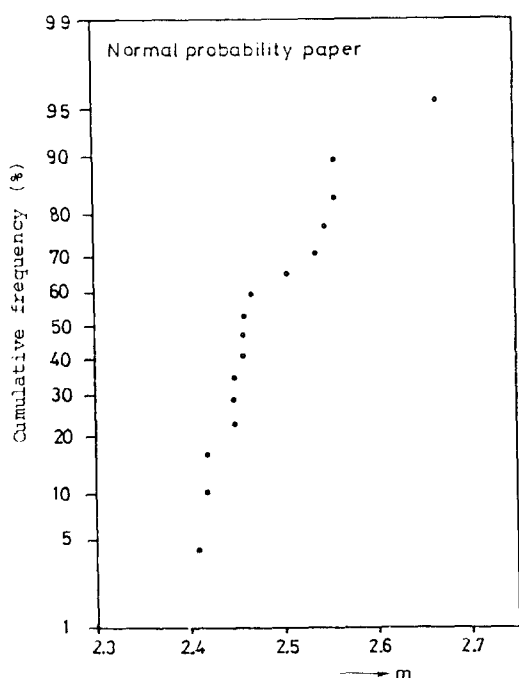
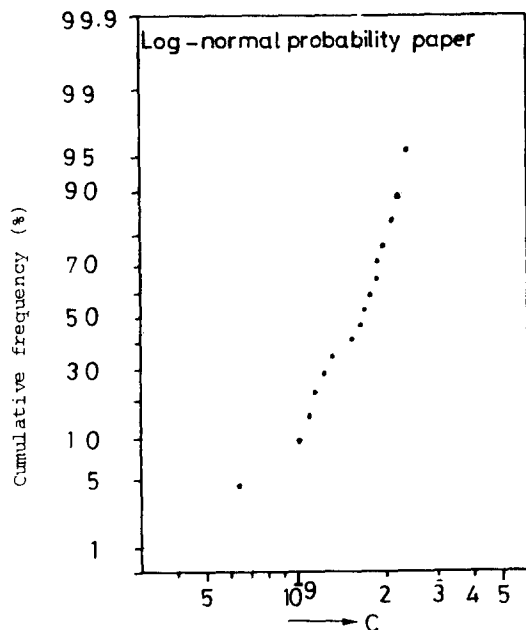


Fig. 19 Relation between  $da/dN$  and  $\Delta K$

Fig. 20 Relation between  $da/dN$  and  $\Delta K$ Fig. 21 Distribution of exponent  $m$ Fig. 22 Distribution of coefficient  $C$ 

것을 알 수 있다.  $C$ 와  $m$ 에 대한 평균치, 표준편차 및 분산계수는 Table 3과 같다.

Table 3 Statistical characteristics of exponent,  $m$ , coefficient,  $C$  and  $\log C$ 

Coefficient and exponent	$m$	$C$	$\log C$
Type of distribution	normal	log-normal	normal
Mean value	2.4900	1.5881	-8.8206
Standard deviation	0.0675	0.4898	0.1443
Coefficient of variation	2.71%	28.64%	1.64%

### 3.2 $m$ 과 $C$ 의 상관

$m$ 과  $\log C$ 의 관계를 Fig. 23에 나타내었으며 확실히 음의 상관관계가 있다는 것을 알 수 있으며 이때 상관계수  $r$ 은  $-0.81$ 이다. Tanaka 등<sup>[13]</sup>은  $m$ 과  $\log C$ 의 관계가 음의 기울기로서 직선상에 있는 경우에는 다음의 관계식이 성립한다고 하였다.

$$C = C_0 K_0^{-m} \quad (3)$$

여기서,  $C_0$ ,  $K_0$ 는 재료 상수로서 일정한 값이다. 따라서 식(1)은 다음 식과 같이 된다.

$$\frac{da}{dN} = C_0 \left( \frac{\Delta K}{K_0} \right)^m \quad (4)$$

즉, 식(3)은

$$\log C = \log C_0 - m \log K_0 \quad (5)$$

로 되므로  $m - \log C$ 의 직선의 기울기와 절편은 각각  $K_0$ ,  $C_0$ 와 같다. Fig. 23과 같이 완전한 직선이 되므로 각 시험점의  $\log \frac{da}{dN} - \log \Delta K$  직선은 염밀히 한 점에 만나는 것은 아니지만 이것에 가깝게 근접한다고 생각할 수 있다. Fig. 23에서 회귀직선의 기울기  $K_0$ 와 절편  $C_0$ 는 각각  $C_0 = 4.11 \times 10^{-4}$ ,  $K_0 = 153.8$ 로 된다. 따라서, 피로크랙전파계수  $C = 4.11 \times 10^{-4} \times 153.8^{-m}$ 으로 나타낼 수 있다.

그러므로 피로크랙전파속도는

$$\frac{da}{dN} = 4.11 \times 10^{-4} \left( \frac{\Delta K}{153.8} \right)^m \quad (6)$$

로 나타낼 수 있다. 이 식은 각 시험점에 대한 피로크랙전파속도의 일반식이다. 여기서,  $m$ 과  $C$ 는 강한 음의 상관관계를 가지므로  $m$ 과  $C$ 의 산포는 본질적인 것이 되고 단지 회귀직선의 성질에 기인한다고는 볼 수 없다.

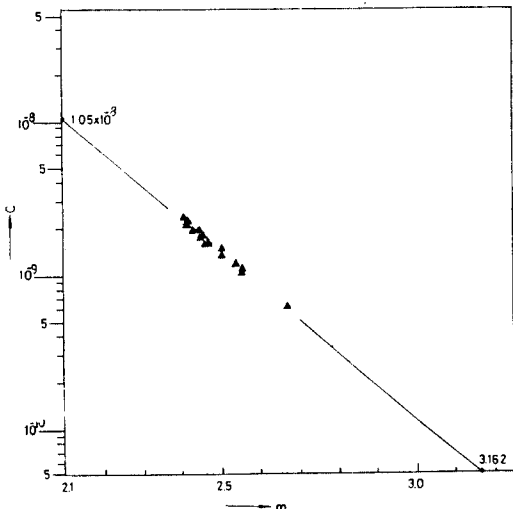


Fig. 23 Relation coefficient,  $C$  and exponent,  $m$

#### 4. 피로크랙전파수명의 예측

$m$ 과  $C$ 의 확률특성을 고려하여 피로수명을 예측하는 방법으로 다음과 같은 경우를 생각할 수 있다.

- 1)  $m$ 은 확정치로 하고  $\log C$ 는 정규분포에 의존한 확률변수로서  $N$ 의 분포를 계산한다.
- 2)  $m$ 과  $\log C$ 는 모두 정규분포에 따른다. 서로 양자의 사이에  $C = C_0 K_0^{-m}$ 의 관계가 완전히 성립한 때  $N$ 의 분포를 계산한다. 이제  $C_0$ 는 일정치로

한다.

3)  $C = C_0 K_0^{-m}$ 의 관계에서  $C_0$ 의 분산을 생각할 때  $m$ 은 정규분포에 따른다.  $C_0$ 는 이것과는 독립적 인 대수정규분포에 따른다.  $N$ 의 분포를 계산한다.

Fig. 23의 데이터점에 대한 회귀직선에 의하여 언어진  $K_0$ 를 사용하면 각 시험점의  $C_0$ 는  $C_0 = CK_0^{-m}$ 의 관계로 부터 구할 수 있다. 여기서, 언어진  $C_0$ 를 대수정규확률지에 타점하면 Fig. 24와 같이 나타낼 수 있고  $\log C_0$ 는 정규분포에 따른다. 또, 식(5)에 분산을 적용시키면 다음과 같이 된다.

$$V_{ar}(\log C) = V_{ar}(\log C) + V_{ar}(m)(\log K_0)^2 \quad (6)$$

여기서  $V_{ar}(\cdot)$ 는 분산을 의미한다. 상기의 식(6)에서 우변의 제1항과 제2항의 크기를 비교하면 제1항 =  $4.70 \times 10^{-4}$ , 제2항 =  $2.20 \times 10^{-2}$  이므로 제1항은 제2항의 약 2.14%이다. 따라서  $\log C$ 의 분산에 대비  $\log C_0$ 의 분산의 차이도는  $m$ 에 비하여 매우 작다.

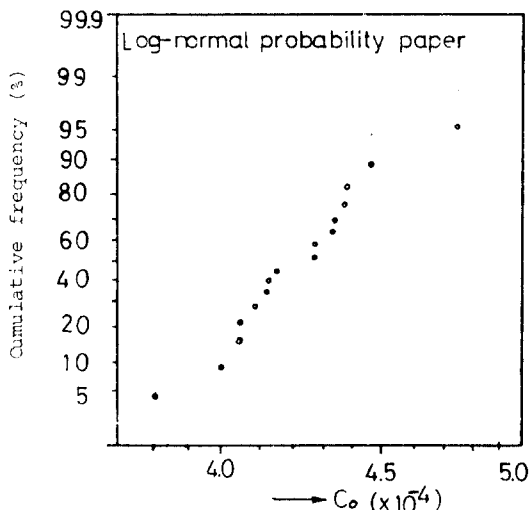


Fig. 24 Distribution of  $C_0$ .

#### 5. 결 론

터빈교터 용 강에 대한 피로크랙전파속도실험을 행하여 언어진 확률특성은 다음과 같다.

- 1)  $m$ 은 거의 정규분포에,  $C$ 는 대수정규분포에 따른다.
- 2)  $m$ 과  $\log C$ 의 사이에는 강한 음의 상관관계가 있고 근사적으로  $C = C_0 K_0^{-m}$ 의 관계가 성립한다.
- 3)  $C = C_0 K_0^{-m}$ 에 대한  $C_0$ 는 염밀히 일정한 값이 아니며  $\log C_0$ 는 정규분포에 따른다. 또  $\log C$ 의 분산

에 대한  $\log C_0$ 의 분산의 기여도는  $m$ 의 분산에 비해  
여 작다.

#### 4) 키로크랙전파속도식은

$$\frac{da}{dN} = 4.11 \times 10^{-4} \left( \frac{\Delta K}{153.8} \right)^m$$

인 일반식으로 나타낼 수 있다.

### 참 고 문 헌

- 1) Head, A. K., "The Growth of Fatigue Cracks", *The Philosophical Magazine*, Vol. 44, pp. 975, 1953
- 2) Irwin, G. R., "Analysis of Stress and Strains near the End of a Crack Traversing Plate", *J. of Applied Mechanics*, Vol. 24, pp. 361, 1957
- 3) Paris, P. C. and F. Erdogan, "A Critical Analysis of Crack of Crack Propagation Laws", *J. of Basic. Eng.*, Vol. No. 4, pp. 528-534, 1963
- 4) Kaechele, L.E. and A.S. Tetelman, "A Statistical Investigation of Micro-Crack Formation", *Acta Metallurgica*, Vol. 17, pp. 463-475, 1969
- 5) Dvork, H.R. and E.C. Schwegler, "Statistical Distribution of Flaw Size", *Int. J. of Fract. Mech.*, Vol. 8., pp. 110-111, 1971
- 6) Maenning, W., "Statistical Planning and Evaluation of Fatigue Tests", *Int. J. of fract.*, Vol. 11, pp. 123-129, 1975
- 7) Saunders, S.C., "The Problems of Estimating a Fatigue Service Life with a Low Probability of Failure", *Eng. Fract. Mech.* Vol. 8, pp. 205-215, 1976
- 8) Clark, W.G. Jr., "Fatigue Crack Growth Characteristics of Rotor Steel", *Eng. Fract. Mech.*, Vol. 2, pp. 287-299, 1971
- 9) Tanaka, S., M. Ichikawa, and S. Akita, "Variability of  $m$  and  $C$  in the Fatigue Crack Propagation Law,  $da/dN = C(\Delta K)^m$ ", *Int. J. of Fract.* Vol. 17, pp. 121-124, 1981
- 10) Sakai, T. and T. Tanaka, "A Statistical Study on the Fatigue Life Distribution of Metallic Materials", *J. of JSMS*, Vol. 28, No. 312, pp. 880, 1979
- 11) Ichikawa, M., M. Hamaguchi, and T. Nakamura, "Statistical Characteristics of  $m$  and  $C$  in Fatigue Crack Propagation Law,  $da/dN = C(\Delta K)^m$  (2024-T3Al Alloy)", *J. of JSMS*, Vol. 33, No. 364, pp. 8-13, 1983
- 12) Kitagawa, H., J.D. Kwon, Y. Nasone, M. Ohashi, and T. Shimazaki, "Effect of Degradation on Fatigue Crack Growth and Statistical Life Prediction", Proceeding of 2nd Conf. of APICS-86, pp. 371-376, 1986
- 13) Tanaka, S., S. Akita and N. Kobayashi, "Statistical Behavior of Fatigue Crack Propagation in Notched Mild Steel Specimens", *J. of JSFM*, Vol. 8, No. 2, pp. 56-63, 1973



### 국 제 학술대 회 개 초 안내

#### 제23차 학회간 에너지 전환공학 학술대회

—23rd Intersociety Energy Conversion Engineering Conference—

주관 : 미국기계학회(ASME)

후원 : 미국기계학회를 포함한 7개 참여학회 및 3개 협동학회

분야 : 대체연료, 바이오매스, 브레이튼 사이클, 열병합발전, 화석연료, 연료전지, 전기추진,  
전기화학적에너지, 에너지절약, 에너지저장시스템, 지열동력, 수소에너지시스템, 원자핵  
분열, 원자핵융합, 광전지, 맹킨사이클, 태양에너지전환, 태양열가열 및 냉각, 스텔링사  
이클, 열전기동력, 풍력 등.

일시 : 1988년 7월 31일~8월 5일

장소 : 미국 Colorado주 Denver시 Denver Marriott Hotel